

## ГЕТЕРОВАРИЗОННЫЙ GaAlAs-ФОТОЭЛЕМЕНТ — СПЕКТРАЛЬНЫЙ АНАЛОГ ГЛАЗА

### II. ЭКСПЕРИМЕНТ

Резников Б. И., Стамкулов А. А., Таурбаев Т. И.,  
Царенков Б. В., Царенков Г. В.

Представлена реализация гетероваризонного GaAlAs-фотоэлемента — спектрального аналога глаза.

Изготовлены пробные GaAlAs-структуры и доказана применимость теоретической модели к реальной структуре. Доказательством служило достаточно близкое совпадение теоретического спектра (полученного путем варьирования основных параметров модельной структуры) с экспериментальным при таких значениях основных параметров модельной структуры, которые практически совпадали с известными для пробной структуры.

Проведена оптимизация основных параметров структуры, направленная на изготовление структуры со спектром, максимально приближенным к спектру глаза.

Создан гетероваризонный GaAlAs-фотоэлемент, спектр относительной квантовой эффективности  $\tilde{Q}(hv)$  которого практически совпадает со спектром относительной чувствительности глаза  $V(hv)$  (среднеквадратичное отклонение не превышает 5 %), и характерные параметры этих спектров соотносятся следующим образом (в эВ):

	$\tilde{Q}(hv)$	$V(hv)$
— энергия максимума . . . . .	2.25	2.25
— полуширина . . . . .	0.43	0.40
— границы спектра (на уровне 0.5 $\tilde{Q}_{\max}$ ) . . . . .	2.01—2.44	2.04—2.44
— красная граница (на уровне 0.05 $\tilde{Q}_{\max}$ ) . . . . .	1.89	1.88
— фиолетовая граница (на уров- не 0.05 $\tilde{Q}_{\max}$ ) . . . . .	2.82	2.75

Абсолютная квантовая эффективность в максимуме спектра  $Q_{\max}=0.7$ .

1. *Предварительные замечания.* Цель данной работы, продолжающей [1], — создать селективный фотоэлемент, спектр относительной квантовой эффективности которого  $\tilde{Q}(hv)=Q(hv)/Q_{\max}$  был бы максимально приближен к спектру относительной чувствительности глаза  $V(hv)$  (оптимальный фотоэлемент).

За основу взята гетероваризонная GaAlAs  $p-n$ -структуре (п. 2); ее упрощенная теоретическая модель рассмотрена в [1], где получена связь спектра  $Q(hv)$  с параметрами структуры; модель содержит 12 параметров: 4 основных, сильно влияющих на спектр, и 8 неосновных, слабо влияющих на спектр.

Оптимальный фотоэлемент создавался в два этапа.

На первом этапе (п. 3) были изготовлены пробные структуры и путем варьирования значений основных параметров модельной структуры установлена применимость теоретической модели к реальной структуре.

На втором этапе (п. 4) были найдены те значения основных параметров модельной структуры, при которых ее спектр  $Q^{\text{mod}}(hv)$  слабо отличался от спектра глаза  $V(hv)$ .

Полученные таким образом значения основных параметров и были использованы для изготовления оптимального фотоэлемента.

Смысл ряда используемых в этой статье терминов и обозначений дан в предыдущей работе [1].

2. Изготовление структур. Гетероваризонные GaAlAs  $p-n$ -структуры (рис. 1) изготавливались жидкостной эпитаксией. Эпитаксия велась в графитовой кассете поршневого типа из ограниченного объема раствора-расплава высотой 200–400 мкм.

На подложках  $n$ -GaAs (100) охлаждением выращивались узкозонный вариационный слой  $n$ -GaAs, легированный оловом, затем широкозонный слой  $p$ -GaAlAs,

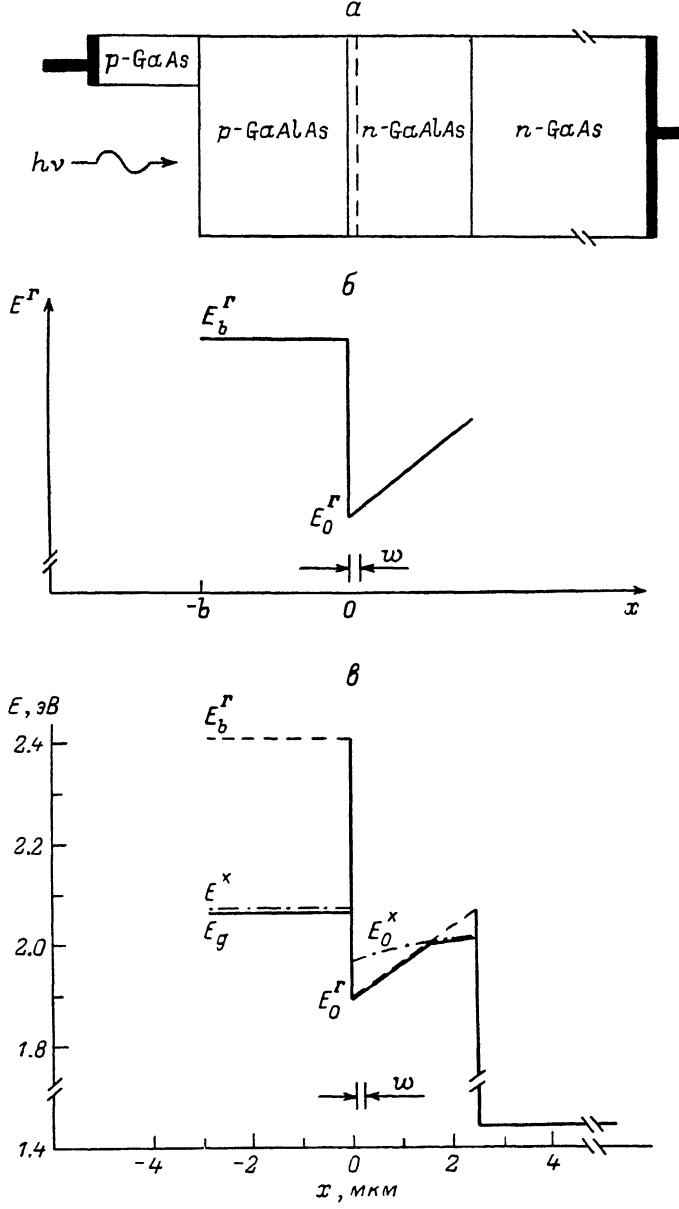


Рис. 1. Структура гетероваризонного GaAlAs-фотоэлемента (а), координатное изменение энергетических порогов в модельной (б) и реальной (в) структурах.

$E^r$  — энергетический порог прямых оптических переходов,  $E^x$  — энергетический порог непрямых переходов,  $E_g$  — ширина запретной зоны. Параметры на в соответствуют оптимальному фотоэлементу С.

легированный цинком, и подконтактный слой  $p$ -GaAs, легированный германием. Смена расплава над подложкой производилась вытеснением предыдущего расплава последующим. Чтобы переход от линейной зависимости  $E^r(x)$  вариационного слоя к  $E^r(x)$  широкозонного слоя был резким, заливаемый раствор-расплав переводился в ненасыщенное состояние подъемом температуры на 0.5–1 °C.

Выбор и задание координатного изменения состава GaAlAs-структур рассматриваются в п. 3.

Толщина варизонного слоя составляла 2—3 мкм, а широкозонного — 3—4 мкм.

$p-n$ -Переход был линейным; слой объемного заряда в равновесии целиком располагался в варизонном слое из-за диффузии цинка в этот слой в процессе эпитаксии и отстоял от гетерограницы на расстоянии не более 0.1 мкм; равновесная ширина слоя объемного заряда  $w=0.15$ —0.20 мкм. Концентрация электронов и дырок на границах слоя объемного заряда с квазинейтральными областями была  $(1 \div 5) \cdot 10^{17} \text{ см}^{-3}$ .

Для образования фоточувствительного окна подконтактный слой  $p$ -GaAs удалялся селективным травлением, за исключением предназначенный под контакт периферии. Площадь светочувствительного окна была около 5  $\text{мм}^2$ .

Омические контакты создавались вплавлением сплавов индий—олово к  $n$ -области и индий—цинк к  $p$ -области.

Для уменьшения отражения света от широкозонной поверхности на нее наносилось анодированием просветляющее покрытие, которое снижало коэффициент отражения до  $\sim 5\%$  в максимуме фоточувствительности и до 15—20 % по краям видимого диапазона.

Спектры относительной квантовой эффективности фотоэлемента  $\tilde{Q}^{\text{exp}}(hv) \sim \sim I_{sc}$ , где  $I_{sc}$  — фототок короткого замыкания, снимались при равном числе падающих фотонов разной энергии, которое задавалось с погрешностью не более 5 %; разрешение по энергиям фотонов — не хуже 0.02 эВ. Абсолютная квантовая эффективность в максимуме  $Q_{\max}$  определялась с погрешностью не более 10 %.

Спектры относительной квантовой эффективности  $\tilde{Q}^{\text{exp}}(hv)$  структуры без отражающего покрытия и с покрытием совпадали в пределах погрешности измерений.

3. Пробные структуры и применимость модели. Для выяснения применимости теоретической модели [1] к реальной структуре были изготовлены пробные GaAlAs  $p-n$ -структуры.

Значения пороговой энергии прямых оптических переходов варизонного слоя на гетерогранице  $E_0^r$  и широкозонного слоя на освещаемой поверхности  $E_b^r$  пробных структур (рис. 1) задавались такими, чтобы спектральный интервал фоточувствительности этих структур хотя бы грубо соответствовал спектральному интервалу чувствительности глаза (спектр глаза представлен на рис. 1 [1]). Поскольку значения  $E_0^r$  не должны быть меньше  $hv_r$  — красной границы спектра глаза и больше  $hv_m^A$  — длинноволновой границы на уровне полуширины, то они выбирались из интервала  $hv_r \leq E_0^r \leq hv_m^A$  ( $1.8 \leq E_0^r \leq 2.0$  эВ). Так как значения  $E_b^r$  не должны быть меньше  $hv_m$  — энергии максимума спектра глаза и больше  $hv_m^A$  — коротковолновой границы на уровне полуширины, то они выбирались из интервала  $hv_m \leq E_b^r \leq hv_m^A$  ( $2.3 \leq E_b^r \leq 2.5$  эВ).

Пробные структуры различались главным образом основными параметрами, которые задавались в процессе их выращивания:

— энергетические параметры  $E_0^r$  и  $E_b^r$  — непосредственно составом твердого раствора с погрешностью около 2 %;

— параметр  $\tau_{ob} = \alpha_{op} b$  (оптическая толщина широкозонного слоя при  $hv = E_b^r$ ) — толщиной широкозонного слоя  $b$ , задаваемой температурным интервалом охлаждения раствора-расплава; слой выращивался такой толщины  $b$ , чтобы  $\tau_{ob} \approx 1$  (см. рис. 3, г [1]), что соответствует  $b \approx 3$  мкм, если считать  $\alpha_{op} \approx 3 \cdot 10^3 \text{ см}^{-1}$  [2];

— параметр варизонности  $\gamma = |\nabla E^r| / \alpha_{on} \varepsilon_{on}$  — градиентом пороговой энергии прямых переходов  $|\nabla E^r|$ , задаваемым высотой расплава и содержанием в нем олова [3] с погрешностью 10 %; варизонная область выращивалась с таким  $|\nabla E^r|$ , чтобы параметр  $\gamma$  попадал в интервал 5—15 (см. рис. 3, б [1]), т. е. интервал  $|\nabla E^r| = 400$ —700 эВ/см для разных структур, так как  $\alpha_{on} = 3 \times 10^3 \text{ см}^{-1}$  [2], а  $\varepsilon_{on} = 0.02$ —0.03 эВ (способ нахождения  $\varepsilon_{on}$  дан далее).

Подчеркнем, что в отличие от энергетических параметров  $E_0^r$  и  $E_b^r$ , значения которых задавались непосредственно и с достаточной точностью, комбинирован-

ные параметры  $\tau_{0b}$  и  $\gamma$  исходно были известны недостаточно точно из-за приблизительного задания значений  $\alpha_{0b}$ ,  $\alpha_{0p}$  и  $\varepsilon_{0n}$ .

Из всех пробных структур будем рассматривать структуры  $A$  и  $B$ , которые имели следующие задаваемые технологией параметры:

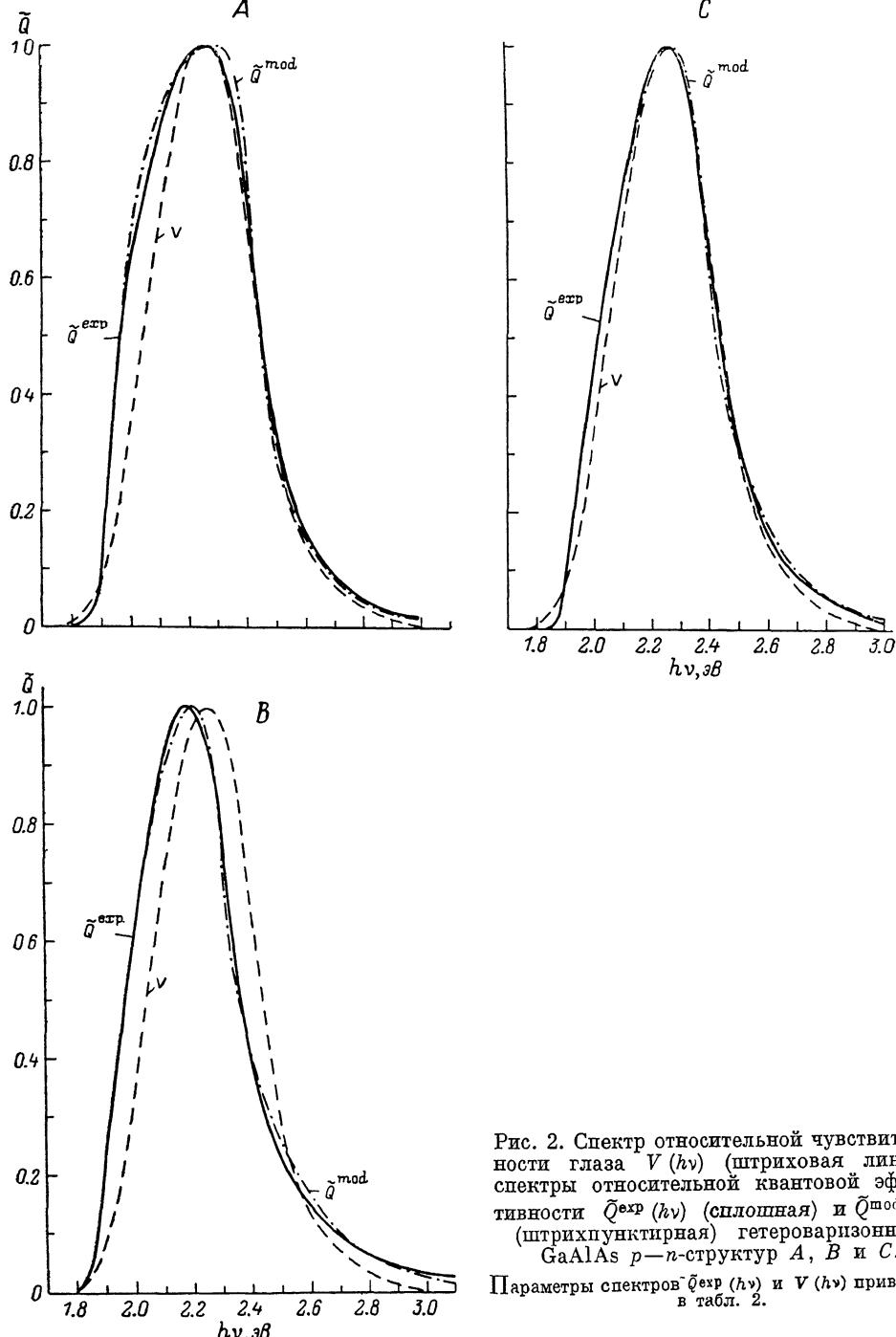


Рис. 2. Спектр относительной чувствительности глаза  $V(h\nu)$  (штриховая линия), спектры относительной квантовой эффективности  $\tilde{Q}^{\text{exp}}(h\nu)$  (сплошная) и  $\tilde{Q}^{\text{mod}}(h\nu)$  (штрихпунктирная) гетеровариозных GaAlAs  $p-n$ -структур  $A$ ,  $B$  и  $C$ .

Параметры спектров  $\tilde{Q}^{\text{exp}}(h\nu)$  и  $V(h\nu)$  приведены в табл. 2.

- пороговые энергии  $E_{0b}^r = 1.91 \pm 0.02$  (A) и  $1.89 \pm 0.02$  эВ (B);
- градиенты пороговой энергии  $|\nabla E^r| = 400 \pm 40$  (A) и  $700 \pm 70$  эВ/см (B);
- пороговые энергии  $E_{0p}^r = 2.47 \pm 0.04$  (A) и  $2.33 \pm 0.04$  эВ (B);
- толщины  $b = 3.5 \pm 0.5$  (A) и  $3.0 \pm 0.5$  мкм (B).

Таблица 1

	Структура								
	A		A*	B		B*	C		C*
	I	II	III	I	II	III	I	II	III
Основные параметры									
$E_0^{\Gamma}$ , эВ	1.91	1.92	1.94	1.89	1.87	1.93	1.91	1.90	1.92
$E_b^{\Gamma}$ , эВ	2.47	2.47	2.45	2.32	2.33	2.42	2.43	2.41	2.42
$\tau_{0b}$	1	1.3	1.3	1	0.75	0.95	1	0.90	0.95
$\gamma$	—	5	9	—	12	13	—	16	15
Отклонения									
$\sigma_{\min}(\tilde{Q}^{\text{mod}} - \tilde{Q}^{\text{exp}})$		0.025			0.018			0.019	
$\sigma_{\min}(\tilde{Q}^{\text{mod}} - V)$			0.028			0.026			
$\sigma(\tilde{Q}^{\text{exp}} - V)$	0.1			0.14			0.045		0.026

Примечание. I — исходные параметры, задаваемые при выращивании структур; II и III — параметры, соответствующие максимальной приближенности спектра  $\tilde{Q}^{\text{mod}}(h\nu)$  к спектрам  $\tilde{Q}^{\text{exp}}(h\nu)$  (II) и  $V(h\nu)$  (III).

Исходные основные параметры структур A и B представлены в табл. 1 (колонки I), а измеренные спектры относительной квантовой эффективности  $\tilde{Q}^{\text{exp}}(h\nu)$  — на рис. 2 и в табл. 2.

Применимость теоретической модели к реальной структуре устанавливалась следующим образом.

Теоретический спектр модельной структуры  $Q^{\text{mod}}(h\nu)$  [1] приближался к экспериментальному спектру пробной структуры  $Q^{\text{exp}}(h\nu)$  путем варьирования на ЭВМ основных параметров модельной структуры.

Таблица 2

Параметры спектров $\tilde{Q}^{\text{exp}}(h\nu)$ и $V(h\nu)$ , эВ	Структура			Глаз
	A	B	C	
Энергия максимума	$h\nu_m$	2.25	2.18	2.25
Полуширина	$\Delta$	0.49	0.40	0.43
Длинноволновая граница (на уровне $0.5\tilde{Q}_{\max}$ )	$h\nu_r^{\Delta}$	1.97	1.97	2.02
Коротковолновая граница (на уровне $0.5\tilde{Q}_{\max}$ )	$h\nu_g^{\Delta}$	2.46	2.37	2.44
Красная граница (на уровне $0.05\tilde{Q}_{\max}$ )	$h\nu_r$	1.90	1.86	1.89
Фиолетовая граница (на уровне $0.05\tilde{Q}_{\max}$ )	$h\nu_g$	2.80	2.88	2.82
$Q_{\max}$ , абс. ед.		0.8	0.7	0.7
				—

Для каждого набора значений основных параметров модельной структуры определялось среднеквадратичное отклонение спектра относительной квантовой эффективности модели  $\tilde{Q}^{\text{mod}}(h\nu)$  от спектра относительной квантовой эффективности пробной структуры  $\tilde{Q}^{\text{exp}}(h\nu)$ :

$$\sigma(E_0^{\Gamma}, E_b^{\Gamma}, \tau_{0b}, \gamma, \dots) = \sqrt{\sum_{i=1}^N [\tilde{Q}^{\text{mod}}(h\nu_i) - \tilde{Q}^{\text{exp}}(h\nu_i)]^2 / N}, \quad (1)$$

где  $N$  — число точек сравнения, и находилось минимальное значение  $\sigma = \sigma_{\min}$ .

Для приближения  $\tilde{Q}^{\text{mod}}(h\nu)$  к  $\tilde{Q}^{\text{exp}}(h\nu)$  предварительно необходимо было задать неосновные параметры пробной структуры, которые, как правило, не варьировались, поскольку они слабо влияют на спектр. Значения этих параметров брались либо из спектра  $Q^{\text{exp}}(h\nu)$  после его обработки, либо из литературы:

- параметр  $\varepsilon_{0n}$  определялся из асимптоты длинноволнового хвоста спектра  $Q^{\text{exp}}(h\nu)$  (по формуле (9) [1]) и оказался равным 0.028 (A) и 0.021 эВ (B);
- параметр  $\tilde{\varepsilon}=\varepsilon_{0n}/2kT$  равен 0.56 (A) и 0.42 (B) при  $kT=0.025$  эВ;
- параметры  $\varepsilon_{1n}$  и  $\varepsilon_{0p}$  были взяты из [4]:  $\varepsilon_{1n}=0.2$  и  $\varepsilon_{0p}=0.05$  эВ для всех структур;
- параметр  $\varepsilon_{1p}$  определялся из асимптоты коротковолнового хвоста спектра  $Q^{\text{exp}}(h\nu)$  (по формуле (10) [1]) и оказался равным 0.17 (A) и 0.14 эВ (B);
- параметр  $\Lambda_p$  (безразмерная диффузионная длина дырок), влияющий в основном на величину  $Q_{\max}$ , находился из условия  $Q_{\max}^{\text{mod}} \approx Q_{\max}^{\text{exp}}$  и был принят равным 0.5 ( $L_p=1.6$  мкм) (A) и 1 ( $L_p=3.3$  мкм) (B);
- параметр  $\Lambda_n$  (безразмерная длина электронов), влияющий в основном только на асимптоту коротковолнового хвоста спектра и практически не влияющий на главную часть спектра, оказалось достаточным положить равным 0.1 ( $L_n=0.3$  мкм) для всех структур;
- параметр  $W=\alpha_{0n}w$  (безразмерная ширина слоя объемного заряда) брался равным 0.06 ( $w=0.2$  мкм,  $\alpha_{0n}=3 \cdot 10^3$  см<sup>-1</sup> [2]) для всех структур.

Результаты приближения спектра  $\tilde{Q}^{\text{mod}}(h\nu)$  к спектру  $\tilde{Q}^{\text{exp}}(h\nu)$  представлены на рис. 2, в колонках II табл. 1 и сводятся к следующему:

- максимально приближенный к  $\tilde{Q}^{\text{exp}}(h\nu)$  спектр  $\tilde{Q}^{\text{mod}}(h\nu)$  практически совпадает со спектром  $\tilde{Q}^{\text{exp}}(h\nu)$  (рис. 2):  $\sigma_{\min}(\tilde{Q}^{\text{mod}} - \tilde{Q}^{\text{exp}}) \leq 0.03$  (колонки II);
- значения пороговых энергий структуры, соответствующие максимальной приближенности спектров (колонки II), совпадают с исходными (колонки I);
- найденное  $\tau_{0b}$  (колонки II) и известное  $b$  дают  $\alpha_{0p}=(2 \div 4) \cdot 10^3$  см<sup>-1</sup>, что согласуется с  $\alpha_{0p}$ , взятым из [2];
- найденное  $\gamma$  (колонки II) при  $\varepsilon_{0n}=0.028$  (A) и 0.021 эВ (B) и  $\alpha_{0n}=3 \cdot 10^3$  см<sup>-1</sup> [2] дают  $|\nabla E^r|=420$  (A) и 760 эВ/см (B), что совпадает с исходными значениями в пределах точности их задания.

Итак, совпадение  $\tilde{Q}^{\text{mod}}(h\nu)$  с  $\tilde{Q}^{\text{exp}}(h\nu)$  происходит при таких значениях основных параметров модельной структуры, которые близки к исходным, заданным при выращивании структуры. На этом основании мы делаем вывод о применимости теоретической модели [1] к реальной структуре.

Отметим, что главное отличие реальной структуры от модельной (рис. 1) — непрямозонность некоторых ее частей — не приводит к осложнениям. Непрямозонность дальней части варизонного слоя [ответственного за формирование длинноволнового крыла спектра ( $h\nu < h\nu_m$ )] несущественна, поскольку из-за ее удаленности главный вклад в квантовую эффективность дает прямозонная часть. Непрямозонность широкозонного слоя [ответственного за формирование коротковолнового крыла спектра ( $h\nu > h\nu_m$ )] учтена тем, что при  $h\nu < E_b$  коэффициент поглощения в этом слое  $\alpha_{sp} \neq 0$ .

4. *Оптимизация и оптимальный фотоэлемент.* Для перехода к оптимальному фотоэлементу сравним экспериментальные спектры  $\tilde{Q}^{\text{exp}}(h\nu)$  пробных структур со спектром чувствительности глаза  $V(h\nu)$ . Количественной характеристикой сравнения служит среднеквадратичное отклонение  $\sigma$ , определяемое по формуле (1), в которой  $\tilde{Q}^{\text{mod}}(h\nu)$  заменен на  $V(h\nu)$ .

Из этого сравнения следует, что спектры  $\tilde{Q}^{\text{exp}}(h\nu)$  пробных структур A и B сильно отличаются от спектра  $V(h\nu)$  (рис. 2):  $\sigma=0.1$  (A) и 0.14 (B) (колонки I табл. 1).

Введем в рассмотрение гипотетические структуры  $A^*$  и  $B^*$  с теми же значениями неосновных параметров, что и у структур A и B соответственно, и выясним, какими должны быть основные параметры структур  $A^*$  и  $B^*$ , чтобы их спектры были максимально приближены к спектру  $V(h\nu)$ , т. е. проведем оптимизацию структур A и B относительно спектра глаза. Эта процедура отличается от процедуры приближения (п. 3) тем, что в формуле (1)  $\tilde{Q}^{\text{exp}}(h\nu)$  заменяется на  $V(h\nu)$ .

Результаты оптимизации структур A и B относительно глаза, приводящей к структурам  $A^*$  и  $B^*$ , сводятся к следующему:

- максимально приближенный к  $V(h\nu)$  спектр  $\tilde{Q}^{\text{mod}}(h\nu)$  практически совпадает со спектром  $V(h\nu)$  (поэтому он на рис. 2 не представлен):  $\sigma_{\min}(\tilde{Q}^{\text{mod}} - V) \leq 0.03$  для обеих структур (колонки III табл. 1);

— значения основных параметров структур  $A^*$  и  $B^*$ , соответствующие максимальной приближенности спектров (колонки III), по-разному отличаются от параметров пробных структур  $A$  и  $B$  (колонки II); так, малое отклонение  $\tilde{Q}^{\text{mod}}(h\nu)$  от  $V(h\nu)$  достигается в структуре  $A^*$  в основном за счет увеличения параметра варизонности  $\gamma$  по сравнению с пробной структурой  $A$ , а в структуре  $B^*$  — в основном за счет увеличения пороговых энергий  $E_0^r$  и  $E_b^r$  по сравнению с пробной структурой  $B$  (ср. колонки III с II).

Поскольку  $\tilde{Q}^{\text{mod}}(h\nu)$  гипотетических структур  $A^*$  и  $B^*$  слабо отличаются от спектра  $V(h\nu)$  [ $\sigma_{\min}(\tilde{Q}^{\text{mod}} - V) \leq 3\%$ ], то обе они могут быть основой для создания оптимального фотоэлемента.

Реальной практически оптимальной является структура  $C$ , при изготовлении которой мы стремились к тому, чтобы ее параметры совпадали с параметрами структуры  $B^*$ .

Значения заданных технологией основных параметров структуры  $C$  приведены в колонке I табл. 1, а спектр  $\tilde{Q}^{\text{exp}}(h\nu)$  — на рис. 2. Значения неосновных параметров структуры не отличались от параметров структуры  $B$ , кроме  $\varepsilon_{0n}$  (после уточнения  $\varepsilon_{0n}=0.019$  эВ и соответственно  $\tilde{\varepsilon}=0.38$ ).

При определении параметров структуры, основанном на максимальном приближении спектра  $\tilde{Q}^{\text{mod}}(h\nu)$  к спектру  $\tilde{Q}^{\text{exp}}(h\nu)$  [ $\sigma_{\min}(\tilde{Q}^{\text{mod}} - \tilde{Q}^{\text{exp}}) = 0.019$ ], получены значения основных параметров, близкие к исходно заданным технологией (ср. колонки II и I).

Сравнение спектров  $\tilde{Q}^{\text{exp}}(h\nu)$  структур  $C$  и  $B$  (рис. 2) со спектром  $V(h\nu)$  показывает, что спектр структуры  $C$  существенно ближе к спектру  $V(h\nu)$ , чем структуры  $B$ :  $\sigma_{\min}(\tilde{Q}^{\text{exp}} - V) = 0.14$  ( $B$ ) и 0.045 ( $C$ ) (колонки I табл. 1).

Отметим, что при дальнейшем приближении структуры  $C$  к глазу получается структура  $C^*$  (колонка III табл. 1), для которой  $\sigma_{\min}(\tilde{Q}^{\text{mod}} - V) = 0.026$  в отличие от 0.045 для структуры  $C$ ; однако разница между параметрами структур  $C$  и  $C^*$  становится для технологии трудно уловимой (ср. колонку II с колонкой III).

5. *Заключение.* Создан фотоэлемент, являющийся спектральным аналогом человеческого глаза.

Основой фотоэлемента служит гетероваризонная GaAlAs  $p-n$ -структура (рис. 1).

Спектральная характеристика фотоэлемента достаточно хорошо описывается теоретической моделью [1].

Спектр относительной квантовой эффективности этого фотоэлемента при комнатной температуре практически совпадает со спектром относительной чувствительности глаза (их среднеквадратичное отклонение не превышает 5%). Абсолютная квантовая эффективность в максимуме спектра равна 0.7.

Характерные параметры структуры фотоэлемента:

- пороговая энергия прямых оптических переходов варизонного слоя на гетерогранице  $E_0^r=1.90$  эВ;
- градиент ширины запретной зоны в варизонном слое  $|\nabla E_g|=|\nabla E^r| \simeq 700$  эВ/см;
- пороговая энергия прямых оптических переходов на освещаемой широкозонной поверхности  $E_b^r=2.41$  эВ;
- толщина широкозонного слоя  $\simeq 3.5$  мкм.

Авторы благодарны О. В. Константинову и В. Е. Челнокову за обсуждение результатов этой работы.

#### Л и т е р а т у р а

- [1] Резников Б. И., Стамкулов А. А., Таурбаев Т. И., Царенков Б. В., Царенков Г. В. — ФТП, 1988, т. 22, в. 9, с. 1634—1639.
- [2] Морозов Б. М., Болховитянин Ю. Б., Габараев Р. С., Кравченко А. Ф., Юдаев В. И. — ФТП, 1980, т. 14, в. 8, с. 1486—1491.
- [3] Panish M. B. — J. Appl. Phys., 1973, v. 44, N 6, p. 2667—2675.
- [4] Monemar B., Schi K. K., Pettit G. D. — J. Appl. Phys., 1976, v. 47, N 6, p. 2604—2613.